

## МЕТОД ЖЕСТКОСТНЫХ ФУНКЦИЙ В ЗАДАЧАХ РАСЧЕТА МНОГОСЛОЙНЫХ СТЕРЖНЕЙ ПРИ ТЕМПЕРАТУРНЫХ НАГРУЗКАХ

*Рассмотрен метод решения пространственной задачи термоупругости о деформировании слоистого анизотропного стержня. Выведены обыкновенные дифференциальные уравнения термоупругого изгиба. Получены условия отсутствия краевого эффекта в стержне при сезонных изменениях температуры.*

Сфера использования композитных слоистых стержней в качестве несущих конструкций под действием механических и температурных нагрузок постоянно расширяется. Основная особенность слоистых стержней состоит в том, что в результате взаимодействия слоев напряженное состояние стержня имеет существенно пространственный характер, т.е. заранее до расчета нельзя пренебречь какими-то компонентами тензора напряжений, все шесть компонент в общем случае могут вносить равновеликий вклад в напряженное состояние и тем самым способствовать нарушению того или иного условия прочности. Эта особенность с особой очевидностью проявляется в явлении расслоения слоистых конструкций вследствие краевого эффекта, т.е. концентрации касательных и нормальных напряжений вблизи продольных кромок композитов.

Целью настоящей работы является разработка метода решения пространственной задачи термоупругости об изгибе слоистого стержня без введения каких-либо упрощающих гипотез о допустимости пренебрежения какими-либо компонентами тензора напряжений или вектора перемещений.

**Постановка задачи.** Рассмотрим стержень с неизменным по длине поперечным сечением, имеющим произвольное очертание и состоящим из произвольного числа упругих слоев, выполненных из различных анизотропных материалов (рис. 1). Граница между слоями в сечении не обязательно прямолинейна, а может быть произвольной кривой, в том числе и замкнутой. Для краткости изложения упругие продольные стержни, посредством которых осуществлено армирование, также будем называть слоями.

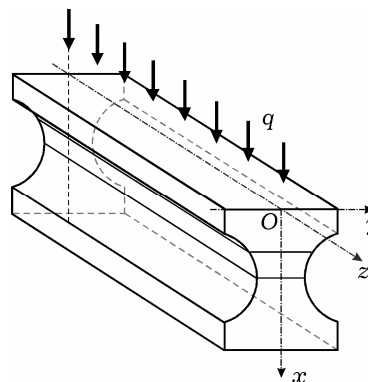


Рис. 1

Выберем начало координат на верхней поверхности стержня. Слои нумеруем сверху вниз:  $i$  – номер текущего слоя,  $s$  – число слоев. На боковой поверхности стержня действуют распределенные поперечные нагрузки  $q_x$ ,  $q_y$  соответственно в направлениях осей  $Ox$  и  $Oy$ . Пусть  $(u_x)_i$ ,  $(u_y)_i$ ,  $(u_z)_i$  – перемещения точек стержня в направлениях осей  $Ox$ ,  $Oy$ ,  $Oz$  соответственно;  $(\sigma_{\alpha\beta})_i$  – компоненты тензора напряжений на  $i$ -м слое;  $[\sigma_{\alpha n}]_i^j$  – скачок контактных напряжений, действующих на границу раздела  $i$ -го и  $j$ -го слоев в направлении  $\alpha$ ,  $\alpha \in \{x, y, z\}$ ;  $n_x$ ,  $n_y$  – компоненты вектора единичной нормали к поверхности стержня либо к границе раздела слоев.

Пусть  $h$  – высота стержня (линейный размер вдоль оси  $x$ ) и  $L$  – его длина,  $\tilde{E}$  – характерное значение модуля упругости. Будем рассматривать

только такие стержни, для которых величина  $\varepsilon = h/L$  является малым параметром. Перейдем к безразмерным переменным и величинам, для простоты не меняя их обозначения:

$$\begin{aligned} x &\leftrightarrow \frac{x}{h}, & y &\leftrightarrow \frac{y}{h}, & z &\leftrightarrow \frac{z}{L}, & u_\alpha &\leftrightarrow \frac{u_\alpha}{h}, & (E_{\alpha\beta\varphi\psi})_i &\leftrightarrow (E_{\alpha\beta\varphi\psi})_i \frac{1}{E}, \\ (\sigma_{\alpha\beta})_i &\leftrightarrow (\sigma_{\alpha\beta})_i \frac{1}{E}, & q_\alpha &\leftrightarrow q_\alpha \frac{1}{E}, & P &\leftrightarrow \frac{P}{E}, & \{\alpha, \beta, \varphi, \psi\} &\subset \{x, y, z\}. \end{aligned} \quad (1)$$

Требуем выполнения уравнений равновесия внутри стержня и на его поверхности всюду, за исключением торцов:

$$\frac{\partial(\sigma_{\alpha x})_i}{\partial x} + \frac{\partial(\sigma_{\alpha y})_i}{\partial y} + \varepsilon \frac{\partial(\sigma_{\alpha z})_i}{\partial z} = 0, \quad \alpha \in \{x, y, z\}, \quad (2)$$

$$(\sigma_{\alpha x})_i n_x + (\sigma_{\alpha y})_i n_y = q_\alpha, \quad \alpha \in \{x, y, z\}, \quad q_z = 0. \quad (3)$$

На границе между слоями стержня должны быть непрерывны перемещения и контактные напряжения:

$$[(\sigma_{\alpha n})_i]_i^j = 0, \quad (u_\alpha)_j = (u_\alpha)_i, \quad \{i, j\} \subset \{1, \dots, s\}, \quad \alpha \in \{x, y, z\}. \quad (4)$$

Считаем, что материал каждого слоя является анизотропным упругим материалом. Закон Дюамеля – Неймана зависимости напряжений от деформаций и температуры  $\Psi$  для  $i$ -го слоя содержит 21 независимую упругую константу  $(E_{\alpha\beta\varphi\psi})_i$  и 6 констант линейного температурного расширения  $(\alpha_{\varphi\psi})_i$  и имеет вид [2]:

$$(\sigma_{\alpha\beta})_i = \sum_{\{\varphi, \psi\} \subset \{x, y, z\}} (E_{\alpha\beta\varphi\psi})_i ((e_{\varphi\psi})_i - (\alpha_{\varphi\psi})_i \Psi), \quad \{\alpha, \beta\} \subset \{x, y, z\}. \quad (5)$$

Задача (2)–(5) является полукраевой, так как на торцах стержня краевые условия не заданы [1, 5]. Если к уравнениям (2)–(5) добавить условия на торцах стержня, заданные как интегральные характеристики, либо в перемещениях, либо в напряжениях, то получим пространственную краевую задачу термоупругости в постановке Сен-Венана.

Считаем, что поверхностные нагрузки, действующие на стержень в поперечном направлении, имеют расщепленный вид, а продольная нагрузка равна нулю:

$$q_\alpha(\Gamma, z) = f_\alpha(\Gamma) p_\alpha(z), \quad \oint_{\Gamma} f_\alpha(\Gamma) d\Gamma = 1, \quad \alpha \in \{x, y\}, \quad q_z = 0, \quad (6)$$

где  $\Gamma$  – множество граничных точек поперечного сечения балки;  $f_\alpha(\Gamma)$  – функции распределения нагрузки по периметру сечения;  $p_\alpha(z)$  – суммарные нагрузки в поперечном сечении, для них, как это следует из формул (6), справедливы равенства

$$p_\alpha(z) = \oint_{\Gamma} q_\alpha d\Gamma, \quad \alpha \in \{x, y\}.$$

Считаем, что температура внутри стержня также имеет расщепленный вид:

$$\Psi(x, y, z) = \Theta(x, y) T(z), \quad \frac{1}{F} \int_F \Theta(x, y) dF = 1, \quad (7)$$

где  $\Theta(x, y)$  – функция распределения температуры по площади сечения  $F$ ;  $T(z)$  – средняя температура в поперечном сечении, для нее, как это следует из формулы (7), справедливо равенство

$$T(z) = \frac{1}{F} \int_F \Psi(x, y, z) dF. \quad (8)$$

**Процедура расщепления в общем виде.** Примем, в соответствии с общей идеей метода жесткостных функций (другое название метода – метод асимптотического расщепления) [1], что перемещения и напряжения точек стержня являются линейной комбинацией дифференциальных операторов, действующих в продольном направлении  $z$  :

$$\begin{aligned} (u_z^\eta)_i^{(n)} &= \sum_{k=0}^{n+1} (U_z^\eta)_i^{(k)} \frac{d^k \eta^{(n)}}{dz^k} \varepsilon^k, \\ (u_\alpha^\eta)_i^{(n)} &= \sum_{k=0}^{n+2} (U_\alpha^\eta)_i^{(k)} \frac{d^k \eta^{(n)}}{dz^k} \varepsilon^k, \quad \alpha \in \{x, y\}, \end{aligned} \quad (9)$$

$$\begin{aligned} (\sigma_{zz}^\eta)_i^{(n)} &= \sum_{k=0}^n (\tau_{zz}^\eta)_i^{(k)} \frac{d^k \eta^{(n)}}{dz^k} \varepsilon^k, \\ (\sigma_{z\alpha}^\eta)_i^{(n)} &= \sum_{k=0}^{n+1} (\tau_{z\alpha}^\eta)_i^{(k)} \frac{d^k \eta^{(n)}}{dz^k} \varepsilon^k, \\ (\sigma_{\alpha\beta}^\eta)_i^{(n)} &= \sum_{k=0}^{n+2} (\tau_{\alpha\beta}^\eta)_i^{(k)} \frac{d^k \eta^{(n)}}{dz^k} \varepsilon^k, \quad \{\alpha, \beta\} \subset \{x, y\}, \end{aligned} \quad (10)$$

где  $\eta^{(n)}(z)$  – некоторая функция, зависящая от продольной переменной  $z$  ;  $(U_\alpha^\eta)_i^{(k)}$ ,  $(\tau_{\alpha\beta}^\eta)_i^{(k)}$  – жесткостные функции вектора перемещения и тензора напряжений, зависящие только от переменных поперечного сечения  $x$  и  $y$  ;  $k$  – жесткостной номер,  $n$  – номер асимптотического приближения.

Кроме того, предположим, что для средней температуры, также справедливо представление в виде суммы дифференциальных операторов, аналогичное (9) и (10):

$$T(z) = \sum_{k=0}^{n+2} T_\eta^{(k)} \frac{d^k \eta^{(n)}}{dz^k} \varepsilon^k. \quad (11)$$

Из равенства (10) для компонент  $(\sigma_{\alpha\beta}^\eta)_i^{(n)}$ , формул (6) и соотношений на поверхности (3) следует, что выполняются дифференциальные равенства, связывающие суммарные поперечные нагрузки и функцию  $\eta^{(n)}$  :

$$p_\alpha = \sum_{k=0}^{n+2} (B_\alpha^\eta)^{(k)} \frac{d^k \eta^{(n)}}{dz^k} \varepsilon^k, \quad \alpha \in \{x, y\}, \quad (12)$$

где  $(B_\alpha^\eta)^{(k)}$  – некоторые константы.

В формулах (10) использованы жесткостные функции тензора напряжения, связанные с жесткостными функциями вектора перемещения следующим образом:

$$\begin{aligned} (\tau_{\alpha\beta}^\eta)_i^{(k)} &= \sum_{\{\varphi, \psi\} \subset \{x, y\}} (E_{\alpha\beta\varphi\psi})_i \left( \frac{1}{2} \left( \frac{\partial (U_\varphi^\eta)_i^{(k)}}{\partial \psi} + \frac{\partial (U_\psi^\eta)_i^{(k)}}{\partial \varphi} \right) - (\alpha_{\varphi\psi})_i \Theta T_\eta^{(k)} \right) + \\ &+ (E_{\alpha\beta zz})_i \left( (U_z^\eta)_i^{(k-1)} - (\alpha_{zz})_i \Theta T_\eta^{(k)} \right) + \\ &+ \sum_{\psi \in \{x, y\}} (E_{\alpha\beta\psi z})_i \left( \frac{1}{2} \left( \frac{\partial (U_z^\eta)_i^{(k)}}{\partial \psi} + (U_\psi^\eta)_i^{(k-1)} \right) - (\alpha_{\psi z})_i \Theta T_\eta^{(k)} \right), \\ &\quad \{\alpha, \beta\} \subset \{x, y, z\}. \end{aligned} \quad (13)$$

**Краевые задачи в сечении стержня.** Подставим формулы (10) в уравнения равновесия (2) и приравняем нулю коэффициенты при одинаковых степенях малого параметра:

$$\frac{\partial(\tau_{\alpha x}^{\eta})_i^{(k)}}{\partial x} + \frac{\partial(\tau_{\alpha y}^{\eta})_i^{(k)}}{\partial y} + (\tau_{\alpha z}^{\eta})_i^{(k-1)} = 0, \quad \alpha \in \{x, y, z\}. \quad (14)$$

Точно также, подставляя формулы (9) в условия (3) на боковой поверхности стержня и приравнивая нулю коэффициенты при одинаковых производных функции  $\eta_0^{(n)}$ , получим условия для жесткостных функций на границе поперечного сечения стержня:

$$(\tau_{\alpha x}^{\eta})_i^{(k)} n_x + (\tau_{\alpha y}^{\eta})_i^{(k)} n_y = (B_{\alpha}^{\eta})^{(k)} f_{\alpha}(\Gamma), \quad \alpha \in \{x, y, z\}, \quad (B_z^{\eta})^{(k)} = 0. \quad (15)$$

Кроме того, подставив формулы (9), (10) в условия сопряжения слоев (4), получим условия сопряжения жесткостных функций на границах между слоями стержня

$$\begin{aligned} (\tau_{\alpha x}^{\eta})_i^{(k)} n_x + (\tau_{\alpha y}^{\eta})_i^{(k)} n_y &= (\tau_{\alpha x}^{\eta})_j^{(k)} n_x + (\tau_{\alpha y}^{\eta})_j^{(k)} n_y, \\ (U_{\alpha}^{\eta})_i^{(k)} &= (U_{\alpha}^{\eta})_j^{(k)}, \quad \{i, j\} \subset \{1, \dots, s\}. \end{aligned} \quad (16)$$

Уравнения (14) совместно с условиями (15), (16) и равенствами (13) образуют систему рекуррентных краевых задач для жесткостных функций  $(U_{\alpha}^{\eta})_i^{(k)}$ . Проинтегрировав каждое из уравнений (14) по сечению стержня и используя условия (15), (16), получим необходимые условия разрешимости краевых задач (13)–(16):

$$(B_{\alpha}^{\eta})^{(k)} = - \sum_{i=1}^s \int_{F_i} (\tau_{\alpha z}^{\eta})_i^{(k-1)} dF, \quad \alpha \in \{x, y\}, \quad (17)$$

$$\sum_{i=1}^s \int_{F_i} (\tau_{zz}^{\eta})_i^{(k-1)} dF = 0, \quad (18)$$

где  $F_i$  – площадь  $i$ -го слоя. В дальнейшем величины  $(B_{\alpha}^{\eta})^{(k)}$  будем называть жесткостями сечения слоистой балки, а величины  $T_{\eta}^{(k)}$  – температурными жесткостями этого сечения. Если формулу (13) подставить в равенство (18), то получим выражение для вычисления температурной жесткости через интегралы от жесткостных функций. Краевые задачи (13)–(16) образуют систему рекуррентных краевых задач: сначала решаем задачу при  $k = 0$ , затем на основе ее решения – при  $k = 1$  и т.д.

**Краевые задачи в сечении стержня при  $k = 0$ .** Рассмотрим задачу (13)–(16) при жесткостном номере  $k = 0$ . Для этого выпишем все уравнения системы (14) и учтем, что индекс  $k$  не может быть отрицательным. В результате получим систему уравнений

$$\frac{\partial(\tau_{\alpha x}^{\eta})_i^{(0)}}{\partial x} + \frac{\partial(\tau_{\alpha y}^{\eta})_i^{(0)}}{\partial y} = 0, \quad \alpha \in \{x, y, z\}, \quad i \in \{1, \dots, s\}. \quad (19)$$

Из формулы (17) следует, что константы  $(B_{\alpha}^{\eta})^{(0)}$  тождественно равны нулю, с учетом этого равенство (15) при  $k = 0$  принимает вид

$$(\tau_{\alpha x}^{\eta})_i^{(0)} n_x + (\tau_{\alpha y}^{\eta})_i^{(0)} n_y = 0, \quad \alpha \in \{x, y, z\}, \quad i \in \{1, \dots, s\}. \quad (20)$$

Равенства (16) и (13) остаются неизменными:

$$(\tau_{\alpha x}^{\eta})_i^{(0)} n_x + (\tau_{\alpha y}^{\eta})_i^{(0)} n_y = (\tau_{\alpha x}^{\eta})_j^{(0)} n_x + (\tau_{\alpha y}^{\eta})_j^{(0)} n_y,$$

$$(U_{\alpha}^{\eta})_i^{(0)} = (U_{\alpha}^{\eta})_j^{(0)(0)} \quad \{i, j\} \subset \{1, \dots, s\}, \quad (21)$$

$$(\tau_{\alpha\beta}^{\eta})_i^{(0)} = \sum_{\{\varphi, \psi\} \subset \{x, y\}} (E_{\alpha\beta\varphi\psi})_i \left( \frac{1}{2} \left( \frac{\partial(U_{\varphi}^{\eta})_i^{(0)}}{\partial\psi} + \frac{\partial(U_{\psi}^{\eta})_i^{(0)}}{\partial\varphi} \right) - (\alpha_{\varphi\psi})_i \Theta T_{\eta}^{(0)} \right) +$$

$$+ (E_{\alpha\beta zz})_i ((U_z^{\eta})_i^{(k-1)} - (\alpha_{zz})_i \Theta T_{\eta}^{(k)}) +$$

$$+ \sum_{\psi \in \{x, y\}} (E_{\alpha\beta\psi z})_i \left( \frac{1}{2} \frac{\partial(U_z^{\eta})_i^{(0)}}{\partial\psi} - (\alpha_{\psi z})_i \Theta T_{\eta}^{(0)} \right),$$

$$\{\alpha, \beta\} \subset \{x, y, z\}. \quad (22)$$

Краевая задача (19)–(22) имеет три независимых решения, каждому из этих решений соответствует своя функция  $\eta$ , поэтому для этих функций вводим особые обозначения:

$$\eta = v_x: \quad (U_x^{v_x})_i^{(0)} = 1, \quad (U_y^{v_x})_i^{(0)} = 0, \quad (U_z^{v_x})_i^{(0)} = 0, \quad (\tau_{\alpha\beta}^{v_x})_i^{(0)} = 0,$$

$$T_{v_x}^{(0)} = 0, \quad \{\alpha, \beta\} \subset \{x, y, z\};$$

$$\eta = v_y: \quad (U_x^{v_y})_i^{(0)} = 0, \quad (U_y^{v_y})_i^{(0)} = 1, \quad (U_z^{v_y})_i^{(0)} = 0, \quad (\tau_{\alpha\beta}^{v_y})_i^{(0)} = 0,$$

$$T_{v_y}^{(0)} = 0, \quad \{\alpha, \beta\} \subset \{x, y, z\};$$

$$\eta = v_z: \quad (U_x^{v_z})_i^{(0)} = 0, \quad (U_y^{v_z})_i^{(0)} = 0, \quad (U_z^{v_z})_i^{(0)} = 1, \quad (\tau_{\alpha\beta}^{v_z})_i^{(0)} = 0,$$

$$T_{v_z}^{(0)} = 0. \quad (23)$$

Из равенств (23) и (17) следует равенство нулю констант:

$$(B_{\alpha}^{v_{\varphi}})^{(1)} = 0, \quad (B_{\alpha}^{v_{\varphi}})^{(2)} = 0, \quad \{\alpha, \varphi\} \subset \{x, y, z\}. \quad (24)$$

При  $k \geq 1$  решение краевых задач (13)–(16) определено с точностью до константы, поэтому введем условие нормировки

$$\sum_{i=1}^s \int_{F_i} (U_{\alpha}^{v_{\varphi}})_i^{(k)} dF = 0, \quad \{\alpha, \varphi\} \subset \{x, y, z\}, \quad k \geq 1. \quad (25)$$

Продолжая решать краевые задачи (13)–(16) при  $k = 1$ , получим, что

$$(U_z^{v_{\beta}})_i^{(1)} = -(\beta - a_{\beta}), \quad \beta \in \{x, y\}, \quad k \geq 1. \quad (26)$$

Подставляя результаты в формулы (9), (10), получим следующие выражения для напряжений и перемещений:

$$(u_{\alpha}^{v_{\varphi}})_i^{(n)} = v_{\varphi}^{(n)} \delta_{\alpha}^{\varphi} + \sum_{k=1}^{n+2} (U_{\alpha}^{v_{\varphi}})_i^{(k)} \frac{d^k v_{\varphi}^{(n)}}{dz^k} \varepsilon^k,$$

$$(u_z^{v_{\beta}})_i^{(n)} = -(\beta - a_{\beta}) \frac{dv_{\beta}^{(n)}}{dz} \varepsilon + \sum_{k=2}^{n+1} (U_z^{v_{\beta}})_i^{(k)} \frac{d^k v_{\beta}^{(n)}}{dz^k} \varepsilon^k,$$

$$(u_z^{v_z})_i^{(n)} = v_z^{(n)} + \sum_{k=1}^{n+1} (U_z^{v_z})_i^{(k)} \frac{d^k v_z^{(n)}}{dz^k} \varepsilon^k,$$

$$\begin{aligned}
(\sigma_{zz}^{v_\varphi})_i^{(n)} &= \sum_{k=2}^n (\tau_{zz}^{v_\varphi})_i^{(k)} \frac{d^k v_\varphi^{(n)}}{dz^k} \varepsilon^k, \\
(\sigma_{z\alpha}^{v_\varphi})_i^{(n)} &= \sum_{k=2}^{n+1} (\tau_{z\alpha}^{v_\varphi})_i^{(k)} \frac{d^k v_\varphi^{(n)}}{dz^k} \varepsilon^k, \\
(\sigma_{\alpha\beta}^{v_\varphi})_i^{(n)} &= \sum_{k=2}^{n+2} (\tau_{\alpha\beta}^{v_\varphi})_i^{(k)} \frac{d^k v_\varphi^{(n)}}{dz^k} \varepsilon^k, \quad \varphi \in \{x, y, z\}, \quad \{\alpha, \beta\} \subset \{x, y\}, \quad (27)
\end{aligned}$$

здесь  $\delta_x^\varphi$  – символ Кронекера. Исходная пространственная задача теории термоупругости является линейной, поэтому будем считать, что напряжения и перемещения являются суммой трех найденных типов решений:

$$\begin{aligned}
(\sigma_{\alpha\beta})_i^{(n)} &= \sum_{\varphi \in \{x, y, z\}} (\sigma_{\alpha\beta}^{v_\varphi})_i^{(n)}, \\
(u_\alpha)_i^{(n)} &= \sum_{\varphi \in \{x, y, z\}} (u_\alpha^{v_\varphi})_i^{(n)}, \quad \{\alpha, \beta\} \subset \{x, y, z\}, \quad i \in \{1, \dots, s\}. \quad (28)
\end{aligned}$$

**Уравнения термо-поперечного изгиба слоистого анизотропного стержня.** Из равенств (11), (12), (27), (28) следует, что три неизвестные функции  $v_x^{(n)}$ ,  $v_y^{(n)}$ ,  $v_z^{(n)}$  подчиняются системе трех обыкновенных дифференциальных уравнений термо-поперечного изгиба:

$$\begin{aligned}
\sum_{k=4}^{n+2} \left( (B_\alpha^{v_x})^{(k)} \frac{d^k v_x^{(n)}}{dz^k} + (B_\alpha^{v_y})^{(k)} \frac{d^k v_y^{(n)}}{dz^k} \right) \varepsilon^k + \sum_{k=3}^{n+2} (B_\alpha^{v_z})^{(k)} \frac{d^k v_z^{(n)}}{dz^k} \varepsilon^k &= p_\alpha(z), \\
\alpha \in \{x, y\}, \\
\sum_{k=2}^{n+2} \left( T_{v_x}^{(k)} \frac{d^k v_x^{(n)}}{dz^k} + T_{v_y}^{(k)} \frac{d^k v_y^{(n)}}{dz^k} \right) \varepsilon^k + \sum_{k=1}^{n+2} T_{v_z}^{(k)} \frac{d^k v_z^{(n)}}{dz^k} \varepsilon^k &= T(z). \quad (29)
\end{aligned}$$

Эти функции  $v_x^{(n)}$ ,  $v_y^{(n)}$ ,  $v_z^{(n)}$  в соответствии с равенствами (26) и (28) обладают таким физическим смыслом: они являются средними перемещениями вдоль координатных осей точек поперечного сечения, т.е. являются перемещениями поперечного сечения как единого целого в продольном и поперечных направлениях:

$$v_\alpha^{(n)} = \frac{1}{F} \sum_{i=1}^s \int_{F_i} (u_\alpha)_i^{(n)} dF, \quad \alpha \in \{x, y, z\}. \quad (30)$$

Коэффициенты системы (29) в соответствии с формулами (17), (18) являются интегральными характеристиками жесткостных функций. Таким образом, они определяются на основе решений краевых задач в сечении стержня (13)–(16).

Порядок системы (29) зависит от номера асимптотического приближения  $n$  и равен  $3n+8$ , однако в работе [1] исследовались подобные системы и было показано, что в действительности физически значимыми являются не все решения, а только решения, регулярно зависящие от параметра  $\varepsilon$ , их количество для данной системы равняется 10. Поэтому, несмотря на формальный рост порядка дифференциальных уравнений с ростом асимптотического приближения, количество краевых условий на торцах, требуемых для замыкания задачи, остается неизменным и равняется десяти.

Следует отметить, что первое слагаемое для продольных перемещений  $(u_z^{v_x})_i^{(n)}$ ,  $(u_z^{v_y})_i^{(n)}$  в формулах (27) соответствует гипотезе плоских сечений Бернулли – Эйлера, на основе которой строится классическая теория изгиба однородных изотропных стержней. Эти слагаемые содержат первые степени малого параметра  $\varepsilon$ , поэтому можно говорить, что на основе пространственной теории упругости получено обоснование гипотезы Бернулли – Эйлера как первого асимптотического приближения для закона деформирования многослойного анизотропного стержня с произвольным расположением слоев при температурных нагрузках.

Представленный подход позволяет заменить решение пространственной задачи теории термоупругости для слоистых балок (2)–(5) на решение системы трех обыкновенных уравнений (29) и краевых задач в сечении балки.

**Ортотропный материал.** Рассмотрим стержень, состоящий из ортотропных слоев, причем оси ортотропии для каждого из слоев стержня параллельны осям системы координат  $Oxyz$ , где ось  $Oz$  – продольная ось стержня. В этом случае закон Дюамеля – Неймана (5) принимает вид

$$\begin{aligned} (\sigma_{\lambda\lambda})_i &= \sum_{\eta \in \{x,y,z\}} (E_{\lambda\eta})_i (e_{\eta\eta})_i - (\alpha_\eta)_i \Psi, \quad i \in \{1, \dots, s\}, \\ (\sigma_{\lambda\beta})_i &= 2(\mu_{\lambda\beta})_i (e_{\lambda\beta})_i, \quad \{\lambda, \beta\} \subset \{x, y, z\}, \quad \lambda \neq \beta, \end{aligned} \quad (31)$$

где  $(E_{\lambda\lambda})_i$ ,  $(E_{z\beta})_i$ ,  $(E_{xy})_i$ ,  $(\mu_{xy})_i$ ,  $(\mu_{z\beta})_i$ ,  $(\alpha_\eta)_i$  – девять независимых упругих констант и три коэффициента температурного расширения. Выражение для коэффициентов температурных напряжений принимает следующий вид:

$$(\chi_\lambda)_i = ((E_{\lambda x})_i (\alpha_x)_i + (E_{\lambda y})_i (\alpha_y)_i + (E_{\lambda z})_i (\alpha_z)_i), \quad \lambda \in \{x, y, z\}. \quad (32)$$

Формулы для жесткостных функций (13) в соответствии с равенствами (31) и (32) запишем так:

$$\begin{aligned} (\tau_{xy}^{v_\varphi})_i^{(k)} &= (\mu_{xy})_i \left( \frac{\partial (U_x^{v_\varphi})_i^{(k)}}{\partial y} + \frac{\partial (U_y^{v_\varphi})_i^{(k)}}{\partial x} \right), \\ (\tau_{z\beta}^{v_\varphi})_i^{(k)} &= (\mu_{z\beta})_i \left( \frac{\partial (U_z^{v_\varphi})_i^{(k)}}{\partial \beta} + (U_\beta^{v_\varphi})_i^{(k-1)} \right), \\ (\tau_{\lambda\lambda}^{v_\varphi})_i^{(k)} &= \sum_{\beta \in \{x,y\}} (E_{\lambda\beta})_i \frac{\partial (U_\beta^{v_\varphi})_i^{(k)}}{\partial \beta} + (E_{\lambda z})_i (U_z^{v_\varphi})_i^{(k-1)} - (\chi_\lambda)_i \Theta T_{v_\varphi}^{(k)}, \\ &\quad \{\lambda, \varphi\} \subset \{x, y, z\}, \quad \beta \in \{x, y\}. \end{aligned} \quad (33)$$

С учетом структуры равенств (33) краевая задача (19)–(22) в сечении для каждого характеристического номера  $k \geq 1$  распадается на две краевые задачи.

**Первая** краевая задача в сечении:

– система уравнений

$$\frac{\partial (\tau_{\alpha x}^{v_\varphi})_i^{(k)}}{\partial x} + \frac{\partial (\tau_{\alpha y}^{v_\varphi})_i^{(k)}}{\partial y} + (\tau_{\alpha z}^{v_\varphi})_i^{(k-1)} = 0, \quad \alpha \in \{x, y\}; \quad (34)$$

– условия на боковой поверхности стержня

$$(\tau_{\alpha x}^{v_\varphi})_i^{(k)} n_x + (\tau_{\alpha y}^{v_\varphi})_i^{(k)} n_y = (B_\alpha^{v_\varphi})_i^{(k)} f_\alpha^q(\Gamma), \quad \alpha \in \{x, y\}; \quad (35)$$

– условия сопряжения характеристических функций на границах между слоями плиты

$$\begin{aligned} (\tau_{\alpha x}^{v_\phi})_i^{(k)} n_x + (\tau_{\alpha y}^{v_\phi})_i^{(k)} n_y &= (\tau_{\alpha x}^{v_\phi})_j^{(k)} n_x + (\tau_{\alpha y}^{v_\phi})_j^{(k)} n_y, \\ (U_\alpha^{v_\phi})_i^{(k)} &= (U_\alpha^{v_\phi})_j^{(k)}, \quad \{i, j\} \subset \{1, \dots, s\}. \end{aligned} \quad (36)$$

Необходимые условия разрешимости краевой задачи (34)–(36):

$$(B_\alpha^{v_\phi})^{(k)} = - \sum_{i=1}^s \int_{F_i} (\tau_{\alpha z}^{v_\phi})_i^{(k-1)} dF = \sum_{i=1}^s \int_{F_i} \alpha (\tau_{zz}^{v_\phi})_i^{(k-2)} dF, \quad \alpha \in \{x, y\}. \quad (37)$$

**Вторая** краевая задача в сечении:

– уравнение

$$\frac{\partial (\tau_{zx}^{v_\phi})_i^{(k)}}{\partial x} + \frac{\partial (\tau_{zy}^{v_\phi})_i^{(k)}}{\partial y} + (\tau_{zz}^{v_\phi})_i^{(k-1)} = 0; \quad (38)$$

– условия на боковой поверхности стержня

$$(\tau_{zx}^{v_\phi})_i^{(k)} n_x + (\tau_{zy}^{v_\phi})_i^{(k)} n_y = 0; \quad (39)$$

– условия сопряжения характеристических функций на границах между слоями плиты

$$\begin{aligned} (\tau_{zx}^{v_\phi})_i^{(k)} n_x + (\tau_{zy}^{v_\phi})_i^{(k)} n_y &= (\tau_{zx}^{v_\phi})_j^{(k)} n_x + (\tau_{zy}^{v_\phi})_j^{(k)} n_y, \\ (U_z^{v_\phi})_i^{(k)} &= (U_z^{v_\phi})_j^{(k)}, \quad \{i, j\} \subset \{1, \dots, s\}. \end{aligned} \quad (40)$$

Необходимое условие разрешимости краевой задачи (38)–(40):

$$\sum_{i=1}^s \int_{F_i} (\tau_{zz}^{v_\phi})_i^{(k)} dF = 0. \quad (41)$$

Жесткостные функции компонент тензора напряжений и вектора перемещений связаны между собой формулами (33). Краевая задача (33)–(37) – задача на нахождение неизвестных функций  $(U_x^{v_\phi})_i^{(k)}$ ,  $(U_y^{v_\phi})_i^{(k)}$ . Краевая задача (38)–(41), (33) – задача на нахождение неизвестных функций  $(U_z^{v_\phi})_i^{(k)}$ . Продолжая рассматривать первую и вторую краевые задачи при больших значениях характеристических чисел  $k$ , можно установить, что следующие жесткостные функции и жесткости тождественно равны нулю

при нечетных числах  $k$ :

$$\begin{aligned} (\tau_{\alpha\beta}^{v_\phi})_i^{(k)} &= (\tau_{zz}^{v_\phi})_i^{(k)} = (U_\alpha^{v_\phi})_i^{(k)} = 0, & (\tau_{\alpha z}^{v_\phi})_i^{(k)} &= (U_z^{v_\phi})_i^{(k)} = 0, \\ (B_\alpha^{v_\phi})^{(k)} &= (B_z^{v_\phi})^{(k)} = 0, & \{\alpha, \beta, \phi\} &\subset \{x, y\}; \end{aligned}$$

при четных числах  $k$ :

$$\begin{aligned} (\tau_{\alpha z}^{v_\phi})_i^{(k)} &= (U_z^{v_\phi})_i^{(k)} = (\tau_{\alpha\beta}^{v_\phi})_i^{(k)} = (\tau_{zz}^{v_\phi})_i^{(k)} = (U_\alpha^{v_\phi})_i^{(k)} = 0, \\ (B_z^{v_\phi})^{(k)} &= (B_\alpha^{v_\phi})^{(k)} = 0, & \{\alpha, \phi\} &\subset \{x, y\}. \end{aligned} \quad (42)$$

Уравнения термо-поперечного изгиба (29) для ортотропных слоистых стержней с учетом равенств (42) принимают вид

$$\begin{aligned} \sum_{r=2}^{N+1} \left( (B_\alpha^{v_x})^{(2r)} \frac{d^{2r} v_x^{(N)}}{dz^{2r}} + (B_\alpha^{v_y})^{(2r)} \frac{d^{2r} v_y^{(N)}}{dz^{2r}} \right) \varepsilon^{2r} + \\ + \sum_{r=2}^{N+1} (B_\alpha^{v_z})^{(2r-1)} \frac{d^{2r-1} v_z^{(N)}}{dz^{2r-1}} \varepsilon^{2r-1} = p_\alpha, \quad \alpha \in \{x, y\}, \end{aligned}$$



$$\sum_{r=1}^{N+1} \left( T_{v_x}^{(2r)} \frac{d^{2r} v_x^{(N)}}{dz^{2r}} + T_{v_y}^{(2r)} \frac{d^{2r} v_y^{(N)}}{dz^{2r}} \right) \varepsilon^{2r} + \sum_{r=1}^{N+1} T_{v_z}^{(2r-1)} \frac{d^{2r-1} v_z^{(N)}}{dz^{2r-1}} \varepsilon^{2r-1} = T(z). \quad (43)$$

**Задача о сезонных изменениях температуры.** Рассмотрим слоистый стержень с сечением, симметричным относительно оси  $Ox$  (рис. 1). Выясним вопрос о величине и характере напряжений, возникающих в нем при сезонных изменениях температуры. Для этого будем считать, что поверхностные и сосредоточенные силы отсутствуют, а температура стержня изменилась во всех его точках на величину  $\Psi_0$  относительно недеформированного состояния. Тогда в соответствии с формулами (7) получаем

$$T(z) = T_0 = \Psi_0, \quad \Theta(x, y) = 1. \quad (44)$$

В силу симметрии сечения стержня и температуры в сечении уравнение (43) при  $\alpha = y$  вырождается в тождественный нуль. Из общей теории таких задач [1], известно что при постоянной нагрузке (поверхностной и температурной) первое асимптотическое приближение является точным решением задачи (2)–(5). Поэтому рассмотрим приближение  $N = 1$ . Тогда система (43) принимает такой вид (верхний индекс для обозначения номера приближения в дальнейшем опускаем):

$$(B_x^{v_x})^{(4)} \frac{d^4 v_x}{dz^4} \varepsilon^4 + (B_x^{v_z})^{(3)} \frac{d^3 v_z}{dz^3} \varepsilon^3 = 0, \quad \sum_{r=1}^2 T_{v_x}^{(2r)} \frac{d^{2r} v_x}{dz^{2r}} \varepsilon^{2r} + \sum_{r=1}^2 T_{v_z}^{(2r-1)} \frac{d^{2r-1} v_z}{dz^{2r-1}} \varepsilon^{2r-1} = T_0. \quad (45)$$

Среди всех возможных решений системы (45) физически значимыми являются только решения, регулярно зависящие от малого параметра  $\varepsilon$  [1]. Поэтому система (45) может быть проинтегрирована и сведена к следующей системе уравнений:

$$(B_x^{v_x})^{(4)} \frac{d^2 v_x}{dz^2} \varepsilon^2 + (B_x^{v_z})^{(3)} \frac{dv_z}{dz} \varepsilon = 0, \quad T_{v_x}^{(2)} \frac{d^2 v_x}{dz^2} \varepsilon^2 + T_{v_z}^{(1)} \frac{dv_z}{dz} \varepsilon = T_0, \quad (46)$$

$$\frac{d^2 v_x}{dz^2} \varepsilon^2 = - \frac{(B_x^{v_z})^{(3)} T_0}{(B_x^{v_x})^{(4)} T_{v_z}^{(1)} - (B_x^{v_z})^{(3)} T_{v_x}^{(2)}}, \quad \frac{dv_z}{dz} \varepsilon = \frac{(B_x^{v_x})^{(4)} T_0}{(B_x^{v_x})^{(4)} T_{v_z}^{(1)} - (B_x^{v_z})^{(3)} T_{v_x}^{(2)}}. \quad (47)$$

Формулы (27), (28) совместно с выражениями (42) при  $N = 1$  дают такие выражения для напряжений:

$$(\sigma_{\alpha\beta})_i = (\tau_{\alpha\beta}^{v_x})_i^{(2)} \frac{d^2 v_x}{dz^2} \varepsilon^2 + (\tau_{\alpha\beta}^{v_z})_i^{(1)} \frac{dv_z}{dz} \varepsilon, \quad (\sigma_{\alpha z})_i = 0, \quad \{\alpha, \beta\} \subset \{x, y\}, \quad (48)$$

$$(\sigma_{zz})_i = (\tau_{zz}^{v_x})_i^{(2)} \frac{d^2 v_x}{dz^2} \varepsilon^2 + (\tau_{zz}^{v_z})_i^{(1)} \frac{dv_z}{dz} \varepsilon. \quad (49)$$

Формулы для напряжений (48), (49) справедливы для любого слоистого стержня с симметричным сечением относительно вертикальной оси  $Ox$ , состоящего из ортотропных материалов. Они дают точное решение пространственной задачи термоупругости в постановке Сен-Венана, но для того чтобы ими воспользоваться, необходимо решить две краевые задачи в сечении (33)–(37): *одну задачу* – при  $k = 2$  и  $\varphi = x$ , *вторую задачу* – при  $k = 1$  и  $\varphi = z$ . В общем случае эти задачи не имеют аналитических решений и требуют численного счета. Рассмотрим особый случай, когда компоненты контактных напряжений  $(\sigma_{\alpha\beta})_i$  при  $\{\alpha, \beta\} \subset \{x, y\}$  равны нулю. Для этого в соответствии с формулами (48) потребуем выполнения равенств

$$(\tau_{xx}^{v_\varphi})_i^{(k)} = 0, \quad (\tau_{yy}^{v_\varphi})_i^{(k)} = 0, \quad (\tau_{xy}^{v_\varphi})_i^{(k)} = 0. \quad (50)$$

Из первых двух равенств (50) и формул (33) следует выполнение таких двух равенств:

$$\frac{\partial(U_{\lambda}^{v_\varphi})_i^{(k)}}{\partial\lambda} = -(v_{\lambda z})_i(U_z^{v_\varphi})_i^{(k-1)} + ((\alpha_\lambda)_i + (v_{\lambda z})_i(\alpha_z)_i)T_{v_\varphi}^{(k)}, \quad \lambda \in \{x, y\}. \quad (51)$$

Проинтегрируем эти равенства и потребуем условия непрерывности жесткостных функций на межслойных границах (36). Это условие в общем случае не может быть выполнено, оно выполняется при условии равенства следующих упругих и термоупругих констант для всех слоев слоистой балки:

$$v_{xz} = (v_{xz})_i, \quad v_{yz} = (v_{yz})_i, \quad i \in \{1, \dots, s\}, \quad (52)$$

и

$$\xi_x = (\xi_x)_i, \quad \xi_y = (\xi_y)_i, \quad i \in \{1, \dots, s\}, \quad (53)$$

где использованы следующие обозначения:

$$(\xi_\lambda)_i = (\alpha_\lambda)_i + (v_{\lambda z})_i(\alpha_z)_i, \quad \lambda \in \{x, y\}. \quad (54)$$

Интегралы от равенства (51) в этом случае будут иметь вид

$$\begin{aligned} (U_{\lambda}^{v_z})_i^{(1)} &= (-v_{\lambda z} + \xi_\lambda T_{v_z}^{(1)})\lambda, \quad \lambda \in \{x, y\}, \\ (U_y^{v_x})_i^{(2)} &= v_{yz}y(x - a_x) + \zeta_{yx}T_{v_x}^{(2)}y, \\ (U_x^{v_x})_i^{(2)} &= 0.5(-v_{yz}y^2 + v_{xz}(x - a_x)^2) + \zeta_x T_{v_x}^{(2)}(x - a_x), \quad i \in \{1, \dots, s\}. \end{aligned} \quad (55)$$

Из функций (55) с учетом формул (33) следует, что третье равенство (50) выполняется тождественно.

Условия (52) и (53) равносильны отсутствию напряжений контактных напряжений между слоями слоистой балки. Для стержней, поперечное сечение которых вытянуто в направлении, параллельном слоям, известно явление кромочного эффекта, когда уровень контактных напряжений вблизи кромок сечения принимает большое значение и поэтому возможно кромочное расслоение. При выполнении условий (52) и (53) такие напряжения отсутствуют и, следовательно, отсутствует кромочный эффект. В работе [6] условие (52) было также получено при чисто механическом нагружении и было названо условием кромочной совместимости слоев. По аналогии условия (52) и (53), взятые вместе, могут быть названы условиями кромочной термосовместимости слоев при сезонных изменениях температур.

Может показаться, что условие (53) носит тривиальный характер, а именно: оно сводится при выполнении условия (52) к равенству коэффициентов температурного расширения  $(\alpha_\beta)_i$ ,  $\beta \in \{x, y, z\}$ , для всех слоев. Но

важно иметь в виду, что и условие (52), и условие (53) в точности для разных материалов никогда не выполняются, всегда приближенно с некоторой точностью. Мера нарушения этих условий – это отличие от нуля разности между величинами  $(\xi_\lambda)_i$  для соседних слоев, и может оказаться, что эта разность существенно меньше, чем разность между самими коэффициентами температурного расширения, т.е. может оказаться, что материалы в большей степени совместимы, чем это могло показаться из рассмотрения только их коэффициентов температурного расширения  $(\alpha_\beta)_i$ .

Подставив равенства (51) в равенства (33) при  $\alpha = \beta = z$  при условиях (52) и (53), получим следующие формулы для нахождения жесткостных функций:

$$\begin{aligned} (\tau_{zz}^{v_x})_i^{(2)} &= -(E_z)_i((x - a_x) + (\alpha_z)_i T_{v_x}^{(2)}), \\ (\tau_{zz}^{v_z})_i^{(1)} &= (E_z)_i(1 - (\alpha_z)_i T_{v_z}^{(1)}), \quad i \in \{1, \dots, s\}. \end{aligned} \quad (56)$$

Подставим равенства (56) в условие (18) и получим выражение для вычисления температурных жесткостей:

$$T_{v_x}^{(2)} = -\frac{\sum_{i=1}^s \int_{F_i} (E_z)_i (x - a_x) dF}{\sum_{i=1}^s \int_{F_i} (E_z)_i (\alpha_z)_i dF}, \quad T_{v_z}^{(1)} = \frac{\sum_{i=1}^s \int_{F_i} (E_z)_i dF}{\sum_{i=1}^s \int_{F_i} (E_z)_i (\alpha_z)_i dF}. \quad (57)$$

Окончательно формулы (48), (49) совместно с формулами (37), (47), (50), (52), (53), (56), (57) и позволяют определить все напряжения в слоистом стержне произвольного сечения с произвольным расположением слоев при сезонном изменении температуры в явном виде.

Если же условия кромочной термосовместимости (52), (53) не выполнены, то формулы (48), (49) остаются справедливыми, но для нахождения жесткостных функций  $(\tau_{\alpha\beta}^{v_x})_i^{(1)}$ ,  $(\tau_{\alpha\beta}^{v_x})_i^{(2)}$  и температурных жесткостей  $T_{v_x}^{(2)}$ ,  $T_{v_z}^{(1)}$  потребуется численно решить две краевые задачи (33)–(37): одну задачу – при  $k = 2$  и  $\varphi = x$ , другую задачу – при  $k = 1$  и  $\varphi = z$ .

**Выводы.** Представленный метод жесткостных функций позволяет решать пространственную задачу теории термоупругости для слоистых балок (2)–(5) в постановке Сен-Венана путем замены исходной задачи в частных производных на задачу решения системы трех обыкновенных уравнений термо-поперечного изгиба (29) (для ортотропных материалов – система (45)) и краевых задач в сечении балки. Метод имеет и практическое, и теоретическое значение, в частности, на его основе получено условие кромочной термосовместимости слоев балки при сезонных изменениях температуры. Данный подход принципиально отличается от традиционных подходов к решению задач термоупругости, изложенных, например, в классических работах [2, 3] и современных работах [4, 7–9].

1. Горынин Г. Л., Немировский Ю. В. Пространственные задачи изгиба и кручения слоистых конструкций. Метод асимптотического расщепления. – Новосибирск: Наука, 2004. – 408 с.
2. Новацкий В. Теория упругости. – Москва: Мир, 1975. – 872 с.
3. Подстригач Я. С., Ломакин В. А., Коляно Ю. М. Термоупругость тел неоднородной структуры. – Москва: Наука, 1984. – 368 с.
4. Aghalovyan L. A. On the classes of deformable one-layer and multilayer thin bodies solvable by the asymptotic method // Mech. Compos. Mater. – 2011. – 47, No. 1. – P. 59–72.

- То же: *Агаловян Л. А.* О классах задач для деформируемых однослойных и многослойных тонких тел, решаемых асимптотическим методом // *Механика композитных материалов.* – 2011. – **47**, № 1. – С. 85–102.
5. *Gorynin G. L., Nemirovskii Yu. V.* Deformation of laminated anisotropic bars in the three-dimensional statement. **1.** Transverse-longitudinal bending and edge compatibility condition // *Mech. Compos. Mater.* – 2009. – **45**, No. 3. – P. 257–280.  
То же: *Горынин Г. Л., Немировский Ю. В.* Деформирование слоистых анизотропных стержней в пространственной постановке. **1.** Продольно-поперечный изгиб и условие кромочной совместимости // *Механика композитных материалов.* – 2009. – **45**, № 3. – С. 379–410.
6. *Gorynin G. L., Nemirovskii Yu. V.* Deformation of laminated anisotropic bars in the three-dimensional statement. **2.** Effect of edge boundary layers on the stress-strain properties of the composite // *Mech. Compos. Mater.* – 2010. – **46**, No. 1. – P. 130–143.  
То же: *Горынин Г. Л., Немировский Ю. В.* Деформирование слоистых анизотропных стержней в пространственной постановке. **2.** Влияние кромочных пограничных слоев на напряженно-деформационные свойства композита // *Механика композитных материалов.* – 2009. – **46**, № 1. – С. 130–143.
7. *Kulkarni M. R., Brady R. P.* A model of global thermal conductivity of laminated carbon/carbon composites // *Compos. Sci. Technol.* – 1997. – **57**, No. 2. – P. 277–285.
8. *Mall S., Conley D. S.* Modeling and validation of composite patch repair to cracked thick and thin metalling panels // *Composites. A.* – 2009. – **40**, No. 9. – P. 1331–1339.
9. *Muddasani Maithru, Savan Sourah, Multiana Anastasia.* Thermo-viscoelastic response of multilayered polymer composites. Experimental and numerical studies // *Compos. Struct.* – 2010. – **92**, No. 11. – P. 2641–2652.

#### МЕТОД ЖОРСТКІСНИХ ФУНКЦІЙ В ЗАДАЧАХ РОЗРАХУНКУ БАГАТОШАРОВИХ СТЕРЖНІВ ПРИ ТЕМПЕРАТУРНИХ НАВАНТАЖЕННЯХ

*Розглянуто метод розв'язання просторової задачі термопружності про деформування шаруватого анізотропного стержня. Виведено звичайні диференціальні рівняння термопружного згину. Отримано умови відсутності крайового ефекту в стержні при сезонних змінах температури.*

#### METHOD OF RIGIDITY FUNCTIONS IN PROBLEMS OF CALCULATION OF MULTILAYERED BARS AT TEMPERATURE LOADINGS

*The method of the solution of spatial thermoelasticity problem on deformation of a layered anisotropic bar is considered. The ordinary differential equations of thermoelastic bending are deduced. The conditions of edge effect absence in a bar are obtained at seasonal changes of temperature.*

<sup>1</sup> Сургут. гос. ун-т, Сургут, Россия,

<sup>2</sup> Ин-т теорет. и прикл. механики  
им. С. А. Христиановича СО РАН, Новосибирск, Россия

Получено  
20.03.12